

Реализация контроллера управления реальным физическим объектом с применением методов нейроэволюционного алгоритма NEAT

А.А. Абузяров, А.А. Макаров

*Российский государственный университет имени А.Н. Косыгина (Технологии.
Дизайн. Искусство)*

Аннотация: В данном эксперименте реализуется решатель (NEAT) и симулятор (объект тележки с обратным маятником), где решатель будет оказывать влияние на объект с целью удержать его в стабильном состоянии, т.е. не дать маятнику упасть. Основной задачей эксперимента является исследование возможности реализации симулятора реального физического объекта и использование его для определения целевой функции нейроэволюционного алгоритма NEAT. Решение данной задачи позволит реализовывать контроллеры на основе алгоритма NEAT, способные управлять реальными физическими объектами.

Ключевые слова: машинное обучение, неревOLUTIONные алгоритм, генетические алгоритмы, нейронные сети.

Генетический алгоритм — это класс эволюционных алгоритмов поиска. Идея генетических алгоритмов основана на эволюционной теории Чарльза Дарвина. Этот алгоритм симулирует процесс естественного отбора, когда более сильные особи из популяции переживают более слабых и производят следующее поколение особей [1]. Данный подход можно использовать и для поиска наилучшей структуры нейросети — нейроэволюция. Основная идея нейроэволюции состоит в том, чтобы создавать нейросеть с помощью стохастических методов поиска, основанных на популяции. Используя эволюционный подход, можно разработать оптимальные архитектуры нейронных сетей, которые точно решают конкретные задачи. В результате могут быть созданы компактные и энергоэффективные сети с умеренными требованиями к вычислительной мощности.

Решатель - Нейроэволюционный алгоритм (NEAT)

NEAT - Neuroevolution of augmenting topologies (Алгоритм нейроэволюции нарастающей топологии) предназначен для уменьшения размерности пространства поиска параметров посредством постепенного

развития структуры нейросети в процессе эволюции [2]. Основное преимущество метода - построенная сеть не нуждается в обучении обратным распространением ошибки, что уменьшает вычислительные затраты. Кроме того, эволюционно развиваемая топология сети позволяет построить структуру с очень высокой ёмкостью информации.

Симулятор – тележка с обратным маятником

Обратный маятник представляет собой неустойчивую механическую систему, центр масс которой находится выше точки вращения. Его можно стабилизировать, прикладывая внешние силы под управлением специализированной системы, которая контролирует угол маятника и перемещает точку вращения горизонтально назад и вперед под центром масс, когда маятник начинает падать [3].

Эксперимент предусматривает моделирование обратного маятника, реализованного в виде тележки, которая может перемещаться горизонтально, с установленными на ней сверху шарниром и маятником в виде вертикального стержня.

Для обучения контроллера балансировки маятника алгоритм обучения NEAT должен получать из среды минимальное количество знаний о объекте [4]. Знания должны максимально отражать близость контроллера к желаемой цели. В каждый данный момент времени решатель получает масштабированные значения:

- горизонтальное положения тележки - x_1 ;
- скорость тележки - x_2 ;
- угол наклона стержня – x_3 ;
- скорость стержня – x_4 .

Эти значения служат входными данными для нейросети.

Взаимодействие решателя и симулятора

Задача состоит в том, чтобы стабилизировать неустойчивую систему и удерживать контроль над ней как можно дольше [5]. Контроллер балансировки маятника принимает масштабированные входные значения, описанные выше, и выдает выходной сигнал, являющийся двоичным значением, определяющим действие, которое должно быть применено. Ниже приведена начальная структура нейронной сети контроллера балансировщика (решателя).

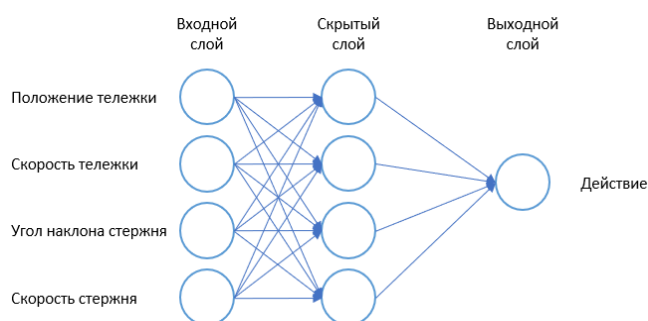


Рис. 1. - Архитектура нейронной сети

Скрытый слой является необязательным и при необходимости может быть исключен. Выходной слой является битовым узлом, выдающим значения 0 или 1.

Задача состоит в том, чтобы реализовать контроллер балансировки обратного маятника, который сможет поддерживать систему в стабильном состоянии в рамках определенных ограничений как можно дольше, или в течение ожидаемого количества временных шагов, указанных в конфигурации эксперимента.

Моделирование симулятора

Моделирование симулятора производится на языке программирования Python. Также используются следующие библиотеки:

- neat-python – реализация алгоритма NEAT на Python [6].

- PyTorch - это оптимизированная тензорная библиотека для глубокого обучения с использованием графических и центральных процессоров [7].
- NumPy - фундаментальный пакет для научных вычислений на Python [8].
- Matplotlib – это комплексная библиотека для создания статических, анимированных и интерактивных визуализаций на Python [9].

Тележка с обратным маятником:

- Для моделирования симулятора используются статические значения – константы, указанные ниже:
 1. GRAVITY = 9.8 # ускорение свободного падения m/s^2
 2. MASSCART = 1.0 # масса тележки kg
 3. MASSPOLE = 0.5 # масса маятника kg
 4. TOTAL_MASS = (MASSPOLE + MASSCART) # общая масса
 5. LENGTH = 0.5 # Расстояние от центра масс маятника до шарнира m
 6. POLEMASS_LENGTH = (MASSPOLE * LENGTH) # $kg * m$
 7. FORCE_MAG = 10.0 # усилие N
 8. FOURTHIRDS = 4.0/3.0 # константа уравнения балансирования
 9. TAU = 0.02 # Количество секунд между обновлениями состояния sec
 - Фрагмент кода уравнения движения симулятора:
 1. force = -FORCE_MAG if action <= 0 else FORCE_MAG
 2. cos_theta = math.cos(theta)
 3. sin_theta = math.sin(theta)
-

4. $temp = (force + POLEMASS_LENGTH * theta_dot * theta_dot * \sin_theta) / TOTAL_MASS$
5. $theta_acc = (GRAVITY * \sin_theta - \cos_theta * temp) / (LENGTH * (FOURTHIRDS - MASSPOLE * \cos_theta * \cos_theta / TOTAL_MASS))$ # Угловое ускорение маятника.
6. $x_acc = temp - POLEMASS_LENGTH * theta_acc * \cos_theta / TOTAL_MASS$ ## Линейное ускорение тележки.
7. # Обновление четырех переменных состояния по методу Эйлера.
8. $x_ret = x + TAU * x_dot$
9. $x_dot_ret = x_dot + TAU * x_acc$
10. $theta_ret = theta + TAU * theta_dot$
11. $theta_dot_ret = theta_dot + TAU * theta_acc$

Пример кода, представленный выше в качестве входных данных, использует текущее состояние системы (x , x_dot , $theta$, $theta_dot$).

После описания констант и уравнения движения можно реализовать полный цикл моделирования симулятора и активации нейронной сети решателя, который состоит из следующих шагов:

1. Инициализация переменных начального состояния (x , x_dot , $theta$, $theta_dot$) около нулевыми значениями;
2. Запуск цикла моделирования на N – количество шагов (задается при выполнении эксперименте);
3. Масштабирования входных значений цикла для передачи в качестве входных данных нейросети (в диапазоне $[0,1]$);

$$input[0] = (x + 2.4) / 4.8$$

$$input[1] = (x_dot + 1.5) / 3$$

$$input[2] = (theta + 0.21) / .42$$

$$input[3] = (theta_dot + 2.0) / 4.0$$

4. Активация нейронной сети и масштабирование выходного значения сети

```
# Активация сети
```

```
output = net.activate(input)
```

```
# Определение действие на основе выходного значения
```

```
action = 0 if output[0] < 0.5 else 1
```

5. После шага моделирования новые переменные состояния проверяются на соответствие ограничениям, находится ли система в допустимых границах.

Если система вышла за ограничения, возвращается пройденное количество шагов моделирования, если система смогла продержаться систему в течение заданного количества шагов (N) моделирования возвращается максимальное количество шагов.

Моделирование решателя

В работе «Применение и сравнение эволюционных алгоритмов в рамках задачи обучения с подкреплением для неустойчивых систем» мы сравнивали два эволюционных алгоритма для управления неустойчивой средой CartPole и пришли к выводу, что алгоритм NEAT более гибок и масштабируем, что позволяет управлять разными объектами [10].

В данной работе мы использовали ранее реализованные классы на языке программирования Python для проведения эксперимента в данной работе. Для более глубокого понимания в текущей работе приведены основные классы и переменные среды:

- `fitness_criterion (max)` - функция, вычисляющая критерий завершения из набора значений приспособленности всех геномов в популяции. Значения параметров – это имена стандартных агрегатных функций, таких как `min`, `max` и `mean`. Значения `min` и `max` используются для завершения процесса эволюции, если минимальная или максимальная

приспособленность популяции превышает заданный порог `fitness_threshold`. Когда значение задано как `mean`, в качестве критерия завершения используется средняя приспособленность популяции. В данном случае требуется максимизация оценки - `max`;

- `fitness_threshold (1.0)` - пороговое значение, которое сравнивается с приспособленностью, вычисленной с помощью функции `fitness_criterion` для проверки необходимости завершения эволюции. Для решения задачи критерий завершения равен 1.0;
- `pop_size (150)` – количество организмов в поколении;
- `reset_on_extinction (False)` – флаг определяет необходимость создания нового поколения, если все виды в текущем вымерли;
- `num_hidden, num_inputs, num_outputs` – количество скрытых, входных и выходных узлов в геномах исходной популяции. `Num_hidden = 1, num_inputs = 4, num_outputs = 1`;
- `activation_options (sigmoid)` – функция активации.

На основе библиотеки `neat-python` реализован класс `NeatBase`, который реализует следующие методы:

- `_run` – метод предназначен для инициализации и запуска алгоритма. На данном этапе инициализируется алгоритм с основными параметрами из файла `config-neat`, инициализирует виртуальное окружения для взаимодействия с симулятором тележки и вызывается метод `_run_neat`;
 - `_run_neat` – метод предназначен для создания первичной популяции и запуска сопутствующих методов для сохранения статистики `_stat_reports`, создания нейронной сети (эволюционирующей топологией и весами сети), запуск метода `_test_genome` тестирования сети на объекте `CartPole`;
 - `_visualize` – метод для визуализации лучшего решения;
 - `_stat_reports` – метод сбора статистики работы алгоритма;
-

- `_test_genome` – метод оценки работы генома. Метод взаимодействует с симулятором тележки, совершая действие и получая вознаграждение, на основе которого строится приспособленность.

Проведение эксперимента

При достижении максимальной пороговой приспособленности в 1.0, т.е. выполнения эксперимента в течение 500 000 временных, или выход за пороговые значения балансирования маятника эксперимент прекращается.

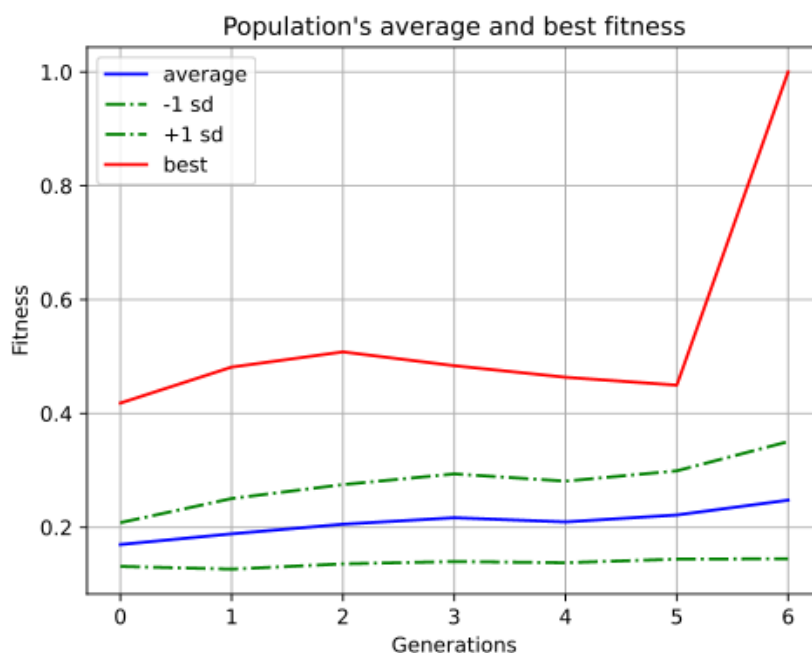


Рис. 2. – Приспособленность популяции.

По рисунку 2 видно, что алгоритм справляется с управлением симулятором. Видно, что на 5 поколении (красная линия) произошла мутация, что позволило найти наилучшее решение.

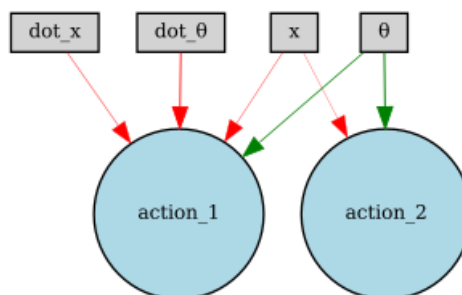


Рис. 3. – Стратегия управления объектом.

На рисунке 3 показана стратегия управления для лучшего поколения, влияние входных параметров на действие ($action_1 = 0$, $action_2 = 1$).

Из эксперимента видно, что алгоритм Neat способен реализовать контроллер, который в состоянии управлять реальными физическими объектами, алгоритм может выбирать различные стратегии управления и подстраиваться под объект.

Литература

1. Luo Xiong, Qian Qian, Fa Fu Yun. Improved Genetic Algorithm for Solving Flexible Job Shop Scheduling Problem, Knowledge Based Systems URL: [sciencedirect.com/science/article/pii/S1877050920301836](https://www.sciencedirect.com/science/article/pii/S1877050920301836).
 2. Lang Sebastian, Reggelin Tobias, Schmidt Johann. NeuroEvolution of augmenting topologies for solving a two-stage hybrid flow shop scheduling problem: A comparison of different solution strategies, Knowledge Based Systems URL: [sciencedirect.com/science/article/pii/S095741742100107X](https://www.sciencedirect.com/science/article/pii/S095741742100107X).
 3. Boriero Fabrizio, Sansonetto Nicola, Marigonda Antonio. Optimal Solution of Kinodynamic Motion Planning for the Cart-Pole System, Knowledge Based Systems URL: [sciencedirect.com/science/article/pii/S2405896317313617](https://www.sciencedirect.com/science/article/pii/S2405896317313617).
 4. Kapoor Arpit, Nukala Eshwar, Chandra Rohitash. Bayesian neuroevolution using distributed swarm optimization and tempered MCMC, Knowledge Based Systems URL: [sciencedirect.com/science/article/abs/pii/S1568494622006056](https://www.sciencedirect.com/science/article/abs/pii/S1568494622006056).
 5. Brockman Greg, Terry Jordan. GYM Documentation URL: gymnasium.farama.org/environments/classic_control/cart_pole/
 6. Smith Allen W., Korinsky Kirill A. NEAT-Python Documentation URL: neat-python.readthedocs.io/en/latest/
-



7. Smith Allen W., Korinsky Kirill A. NEAT-Python Documentation URL: neat-python.readthedocs.io/en/latest/
8. Picus Matti, Berg Sebastian. NumPy Documentation URL: numpy.org/doc/stable/
9. Hunter John D. Matplotlib Documentation URL: matplotlib.org/stable/users/index
10. Абузьяров А.А., Макаров А.А. Применение и сравнение эволюционных алгоритмов в рамках задачи обучения с подкреплением для неустойчивых систем // Инженерный вестник Дона. 2023. №6. URL: ivdon.ru/ru/magazine/archive/n6y2023/8477.

References

1. Luo Xiong, Qian Qian, Fa Fu Yun. Improved Genetic Algorithm for Solving Flexible Job Shop Scheduling Problem, Knowledge Based Systems. URL: sciencedirect.com/science/article/pii/S1877050920301836.
 2. Lang Sebastian, Reggelin Tobias, Schmidt Johann. NeuroEvolution of augmenting topologies for solving a two-stage hybrid flow shop scheduling problem: A comparison of different solution strategies, Knowledge Based Systems. URL: sciencedirect.com/science/article/pii/S095741742100107X.
 3. Boriero Fabrizio, Sansonetto Nicola, Marigonda Antonio. Optimal Solution of Kinodynamic Motion Planning for the Cart-Pole System, Knowledge Based Systems. URL: sciencedirect.com/science/article/pii/S2405896317313617.
 4. Kapoor Arpit, Nukala Eshwar, Chandra Rohitash. Bayesian neuroevolution using distributed swarm optimization and tempered
-



- MCMC, Knowledge Based Systems. URL: [sciencedirect.com/science/article/abs/pii/S1568494622006056](https://www.sciencedirect.com/science/article/abs/pii/S1568494622006056).
5. Brockman Greg, Terry Jordan. GYM Documentation. URL: gymnasium.farama.org/environments/classic_control/cart_pole/
 6. Smith Allen W., Korinsky Kirill A. NEAT-Python Documentation. URL: neat-python.readthedocs.io/en/latest/
 7. Smith Allen W., Korinsky Kirill A. NEAT-Python Documentation. URL: neat-python.readthedocs.io/en/latest/
 8. Picus Matti, Berg Sebastian. NumPy Documentation. URL: numpy.org/doc/stable/
 9. Hunter John D. Matplotlib Documentation. URL: matplotlib.org/stable/users/index
 10. Abuzyarov A.A., Makarov A.A. Inzhenernyj vestnik Dona. 2023. №6. URL: ivdon.ru/ru/magazine/archive/n6y2023/8477.